

## PAPER DETAILS

TITLE: TIBBI KULLANIM AMAÇLI DENEY KABINI TASARIMI VE IMALATI

AUTHORS: Onur KOÇAK,Mehmet Cüneyt SEN,Erdi ARSLAN,Arif KOÇOGLU

PAGES: 99-110

ORIGINAL PDF URL: <https://dergipark.org.tr/tr/download/article-file/436869>



## TIBBİ KULLANIM AMAÇLI DENEY

\*Onur KOÇAK<sup>1</sup>, Mehmet Cüneyt SEN<sup>1</sup>

<sup>1</sup> Başkent Üniversitesi, Mühendislik Fakültesi, Biyomedikal

[okocak@baskent.edu.tr](mailto:okocak@baskent.edu.tr), [mcuneytsen@baskent.edu.tr](mailto:mcuneytsen@baskent.edu.tr)

<sup>2</sup> Başkent Üniversitesi, Teknik Bilimler MYO Biyomedikal C

Geliş Tarihi: 20.08.2014

### ÖZET

Bu çalışmada tıbbi kullanım amaçlı bir deney yapılmıştır. LM35 sıcaklık sensörü ve SHT11 nem ölçümü ve kontrolünde kullanılmıştır. Kabin ısısı, rehumasyon ve nem seviyesi sağlanır. Su haznesi nem değişimleri için rezistanın değişimlerini  $25^{\circ}\text{C}$  ile  $40^{\circ}\text{C}$  aralığında  $\pm 0.1\%$  doğrulukla ölçebilmektedir. Sıcaklık ve nem değişimleri 16x2 karakter LCD ekranında görüntülenmektedir. Pihon sağlanması sağlanmaktadır. Veri toplanıp, 12 saatlik bir inkıfasi saniyelik zaman sürecinde excel tablosunda sunulmaktadır.

## 1. GİRİŞ

Tıbbi amaçlı kullanılan deney kabinleri, mikrobiyoloji, kullanılmaktadır. Kullanım amacı istenilen uygun sıcaklık ve nem koşullarını yaratmaktadır. Bu çalışma Başkent Üniversitesi çalışmalarda kullanılması hedeflenen sıcaklık ve nem koşullarını içermektedir. Bu çalışma ile nihai olarak hedeflenen; biyolojik üretimler için gerekli ısı ve nem koşullarını bilgisayar yardımıyla gözlemlenmesi ve kayıt altına alınan şartların oluşturulmasıdır [1].

Sıcaklık ve nem işlem değişkeni olarak endüstriyel konuların çoğunlukla kontrolü zorunlu olan parametre bilgileridir [1].

Biyoteknolojik çalışmalarda kontrol stratejileri, optimizasyon ve kararlılık gelen dinamik modellerin tasarımı ve optimizasyon çözülmesi gereken problemlerdir [3, 4].

Bir ısıtma ve nem sisteminin (INS) dinamik modelinin türlerini, alan, ısıtıcı rezistanslar, sıcaklık ve nem algılama sensörlerini Tasarımlar kullanım amaçlarına göre değişiklik gösterebilir.

Bir kapalı alan içerisinde sıcaklık kontrolü sağlayan sistem konumuna bağlıdır. Alan içerisindeki şartlar homojen olmamak, ortalama hava sıcaklığından farklı olacaktır [7, 8]. Bu farklı noktalarda ölçüm alıp takip etmek daha sağlıklı sonuçlar elde etmek için önemlidir.



Kabin

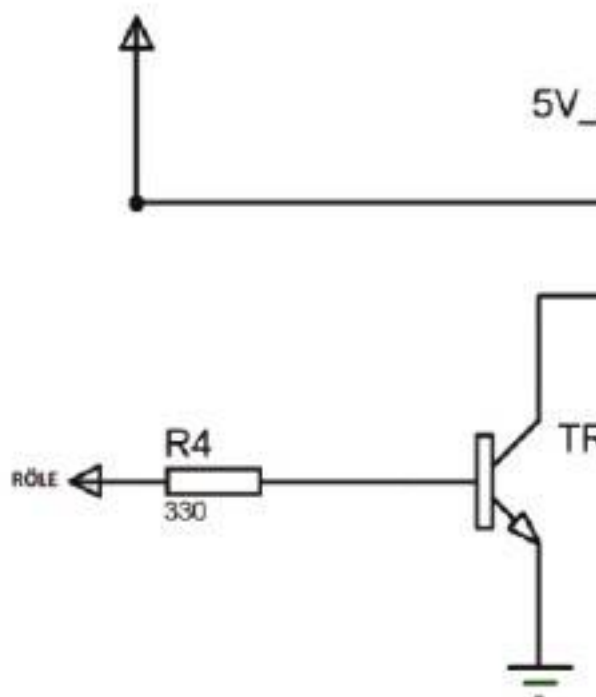
Bilgisayar Kontrolü  
(Veri Toplama)

Şekil 1. Tasarlanan sistemi

## 2.1 Sıcaklık Üretimi Ve Sıcaklık Kontrolü

Mikroorganizma üretiminde, kullanım amacına göre inktaki sıcaklık ise genel olarak  $30^{\circ}\text{C}$  -  $40^{\circ}\text{C}$  arasındadır [18]. 90 W gücünde rezistans ısıtıcı kullanılmıştır. Şekil görülmektedir.

Operatör, tasarlanan kullanıcı dostu arayüz ile inkübasyon tercih edebilmektedir. Sıcaklığın istenilen değere ulaşımını tutmaktadır. Röleyi tetiklemek için BC337 triyot ve Mikrodenetleyicinin maksimum verdiği 20mA'lık akım sağlıyor ve çalıştırılmaktadır [19]. Şekil 3'te röle mekanizması görülmektedir.



**Şekil 3.** Sistemde kullanılan röle mekanizması

Sıcaklık, kullanıcı tarafından istenen değere ayarlanır. İstek çıkışlığında röleler tetiklenerek ısıtıcıının akımını kesmektedir.

Kabin içerisinde yerleştirilen rezistans ısıtıcı, kabin içi sıcaklığı seviyelerdedir. Sıcaklık sabitleme, sinyal genişlik mekanizması sağlanmıştır.

$$T = \frac{V_o}{1}$$

Besleme voltajı +4V ila +20V aralığında gerçekleştirilebilir. Bu ise şekil 3'te görülen  $-V_{CC}$  beslemesi yapılarak denklem 2'ye göre:

$$R = \frac{V}{50}$$

LM35 çıkışısı, kullanılan mikrodenetleyici (PIC18F452) tarafından okunmaktadır.  $+5 V_{DC}$  ile beslenen işlemcinin çözünürlüğü

## 2.2 Nem Üretimi Ve Nem Kontrolü

Tasarlanıp üretilen deney kabini içerisinde su hazneleri bu bölümler su ile doldurulmaktadır [21]. Hazneler inkübasyon anında ısınan su buharı kabin içerisinde yayarak bağıl nem bilgisi ölçülmektedir. Kullanıcının durdurulmaktadır. İstenilen değerin %5'lik tolerans Mikrodenetleyici SGM ile çalıştırılarak nem değeri sabit tutulmaktadır. Şekil 5'de SHT11'in bağlantı şekli görülmektedir.  $10k\Omega$

$$RH_{Doğrusal} = c_1 + c_2 \cdot SO_{RH}$$

Buradan  $SO_{RH}$  yani okunan nem değeri (read out) ortak p

$$RH_{Doğrusal} = c_2 + (c_3 \cdot SO_{RH})$$

12bitlik çalışmada ve 8 bitlik çalışmada kullanılan sabitle

### Çizelge 1. Nem değeri dönüşüm katsayıları.

SO <sub>RH</sub>	c <sub>1</sub>
12 bit	-2.0468
8 bit	-2.0468

### 2.3 Deney Kabini Tasarımı

Kabinin dış sacı 1mm, alt sacı ise 1.5mm kalınlığında kaplanmıştır. Bu boyama türü en kuvvetli mukavemete sahip boyanır ve boyanır [23]. Elektrostatik toz boyanma imalatı yoluyla temizlenip üzerine toz şeklinde atılıp minimum 250-300°C'da işlemde toz eriyerek boyanacak malzeme üzerine yapıştırılmıştır.

Kabinin izolasyonu özel yanmaz taş yünü izolasyon yaklaşık 3,5-4cm izolasyon malzemesi kullanılmıştır. İmalatın ham madde olan bazalt tasının 1350°C-1400°C'de ergitilmesiyle



**Şekil 6.** Deney kabinin

### **3. KABİN VE KONTROL ÜNİTESİ**

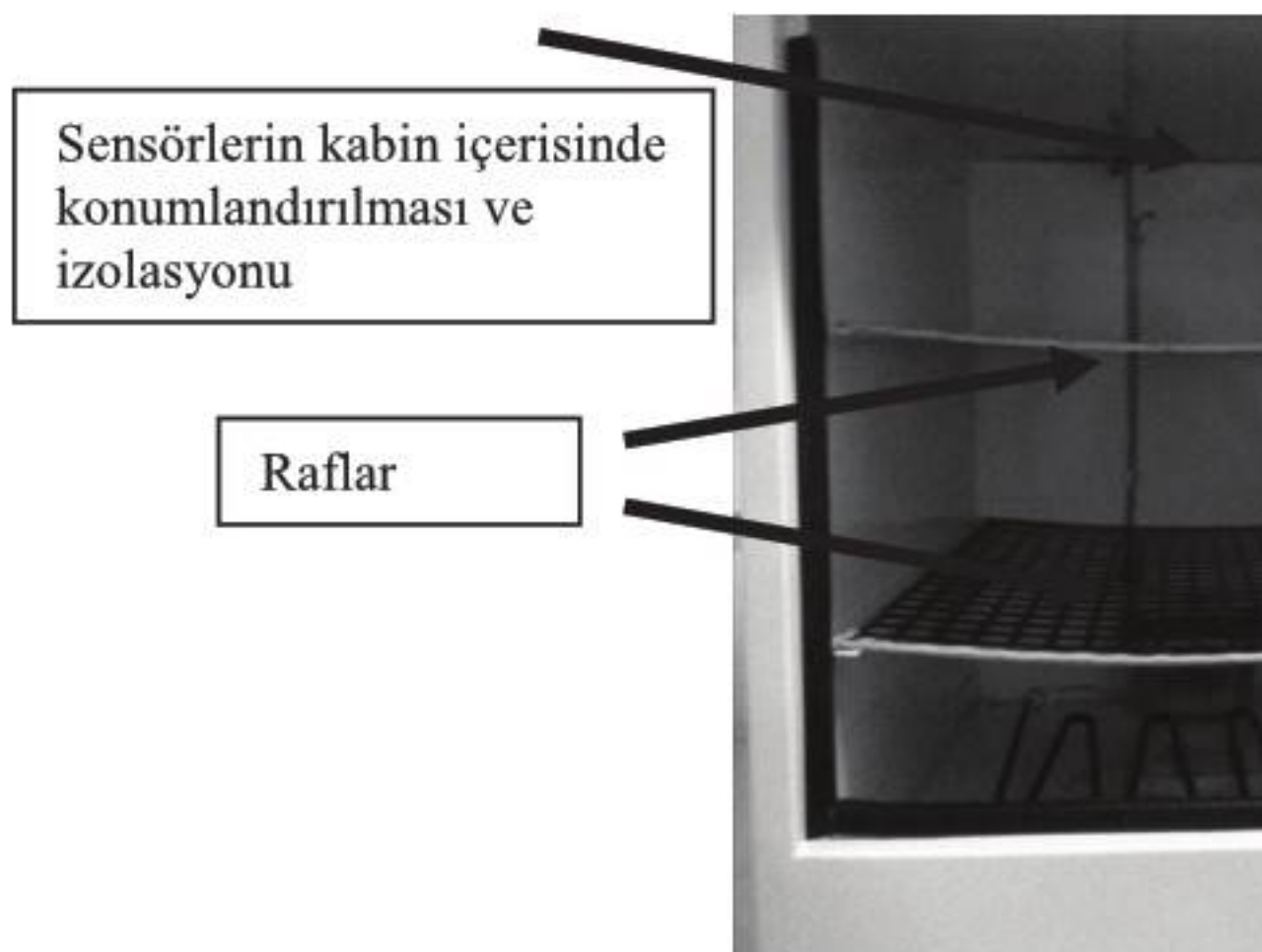
#### **3.1. Kontrol Ünitesi**

+5V ile beslenen kontrol devresinin gerilimi 7805 sabit ısıtıcının istenilen sıcaklık değerine ulaşması sağlanmıştır. Sıcaklık bilgileri ve ortalaması ile nem bilgisi ekranda gösteri kullanıcı tarafından girilmekte ve sistemin ayar mikroişlemciye bağlanmamıştır. Röleyi tetiklemek için akım çeken röle BC-337 anahtarlama transistörü ile kabin üzerine monte edilmeden önceki son hali görülmektedir.

yapılmıştır. Sensör kablolarının, ısı yalıtımını engellenmesi kontrol biriminin kabin üzerinde olması fazla kablo kullanma

### 3.2. Kabin İçi Yerleşim

Kontrol bölümü tamamlandıktan sonra LM-35 ve SHT içeresine monte edilmiştir. Özel tasarım raflarda kabin içe



Şekil 8. Kabin iç

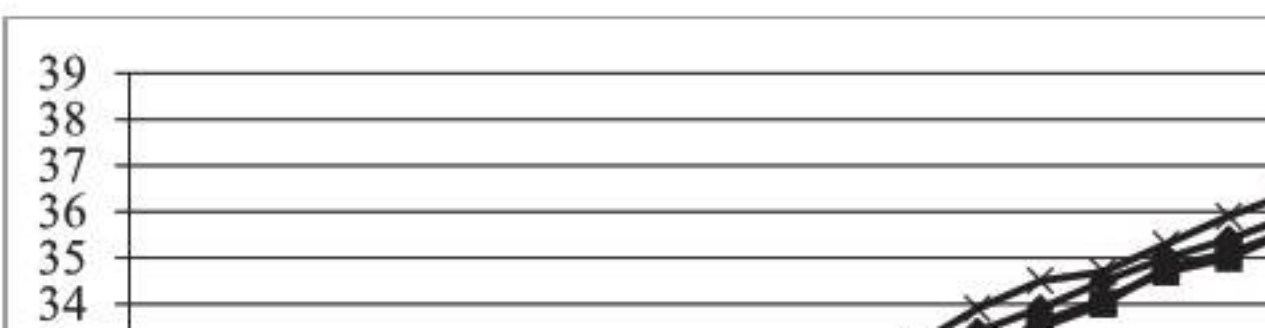
### 3.3. Sistemin Çalışması

Sistem tasarımında kontrol ünitesi kutulanarak kabin üzerindeki bağlantıları RS-232 portu aracılığıyla sağlanmıştır. Kullanım süresini butonlar yardımıyla seçebilmektedir. Bu butonlarla 30sn., 45 sn. ve 60 sn. seçeneklerde seçilebilmektedir. Örneğin 30sn., 45 sn. ve 60 sn. seçeneklerde seçilebilmektedir.

12 saatlik inkübasyon sürecinde, C++ tabanlı veri toplama sonuçları sunmaktadır. 12 saatlik inkübasyon süresi 30 sn. (kabin sağ duvarı), T2 (kabin sağ duvarı) ve T3 (kabin sol duvarı) okunmaktadır. Böylelikle deney ortamının sıcaklık yorumlanabilmektedir.

Tasarlanan deney kabini izlenebilir sıcaklık ölçer (Agilis) sıcaklık 38 °C olarak girilmiştir. Inkübasyon süresi ise 12 saat olarak girilmiştir. Veri toplama sıklığı ise 30 sn. olarak, sıcaklık ölçerden alınan sıcaklıklar Çizelge 2'de görülmektedir.

**Çizelge 2.** T1, T2, T3 ve REF Sıcaklık Değerleri.



#### **4. SONUÇLAR VE İLERİYE YÖNELİK ÇALIŞMALAR**

Nem SHT-11 ile ölçülmüştür. Nem değerinin izlenebilmesi (YK-90HT). Sistem çalışmaya başladığında izlenebilir kullanılan sensörün çıkışları ile 38 %RH olarak okunmuştur. Dolayısı rezistans ile birlikte su haznesi fanları da çalıştaraflarda bulunan sıcaklık sensörlerinde bir miktar düşüş sürecinde, nem miktarı LCD ekranında 48 %RH olarak kaydedilmiştir.

Sıcaklık LM 35 sensörler ile ölçülmüştür. 3 farklı nokta yardımıyla karşılaştırılmıştır. Kontrol ünitesi yardımıyla ölçüm yapılmaktır. Kontrol ünitesinde inkübasyon seçebe bilme mümkün değildir. Isıtıcının istenilen sıcaklığı aşmaması süresinin sonunda hata vererek sistemi kapatır. Böylece isıtıcıyı korumak sağlanır.

Çalışmanın ileri aşamalarında uzun inkübasyon sürelerini için kabin üzerine kameralar yerleştirilmesi düşünülmeli. Uygulamalarda kullanılan sayısal sensörlerin eklenmesi seviyeye indirileceği düşünülmektedir.

#### **TEŞEKKÜR**

Bu çalışmada yer alan yazarlar, tasarlanan metalik kabın aşamalarında yaptıkları katkılarından Türkojen Jeneratör firma ortağı ve tasarım mühendisi Sn. N. Fatih Alkan ile

- [9] S. Wahid, D.R. Cahela, and B.J. Tatarchuk, “Experimental Study of Pressure Drops Occurring in Pleated Catalyst Structures”, *Journal of Heat Transfer*, 135(4), 044501 (2013).
- [10] L.L.W. Mingshan, “Design and Experiment of a Refrigeration System for Electric Vehicles”, *Journal of Refrigeration*, 3, 113 -120 (2011).
- [11] S.H. Au, S.C.C. Shih, and A.R. Wheeler, “Integration of microorganisms with bacteria, algae and yeast”, *Biomedical Microdevices*, 15(1), 1-10 (2013).
- [12] S.D. Frey, J. Lee, J.M. Melillo, and J. Six, “The temperature feedback to climate”, *Nature Climate Change*, 3, 395–398 (2013).
- [13] International Commission on Microbiological Specifications for Foods, *Factors Affecting Life and Death of Microorganisms*, 2nd ed., Blackie Academic & Professional, London, 1994.
- [14] W. Shen, P.G. Wolf, F. Carbonero, W. Zhong, T. Iwakoshi, and S. H. Kim, “Inflammation and Systemic Inflammatory Responses Are Positively Associated with Adiponectin in High-Fat–Fed Male C57BL/6J Mice”, *American Journal of Physiology – Endocrinology and Metabolism*, 307(8), 1187 – 1191 (2014).
- [15] C.H. Park, C.H. Lee, M.D. Guiver, and Y.M. Lee, “Effect of low-temperature and low-humidity proton exchange membrane on the performance of fuel cell”, *Journal of Power Sources*, 36(11), 1443–1498 (2011).
- [16] G.R. Harrod, B.A. Beers, G.E. Carmichael, and J. R. Johnson, “A method for measuring the interaction of proteins with solid interfaces”, US 8219249 B2, (2012).
- [17] R.C. Arora, “Refrigeration and Air Conditioning”, Pearson Education, Inc., 2007.
- [18] G.W. Bahng, and J.D. Lee, “Development of heat-generating superconductor powder combined with heat-generating super materials”, <https://doi.org/10.1177/0040517513503732>, (2014).
- [19] M.A. Zamani, T.S. Sidhu, and A. Yazdani, “A Protection Scheme for Low-Voltage Microgrids”, *IEEE Transactions On Power Systems*, 29(3), 1322–1330 (2014).
- [20] LM35 Precision Centigrade Temperature Sensors, Texas Instruments, 2002.

DPÜ Fen Bilimleri Dergisi  
Sayı 34, Haziran 2015

Tıbbi

Onur KOÇAK, Mel

---